

Esame di “FONDAMENTI DI AUTOMATICA” (9 CFU)

Prova MATLAB – 18 luglio 2022 – Testo B

Istruzioni per lo svolgimento: lo studente deve consegnare al termine della prova una cartella nominata `Cognome_Nome`, contenente:

1. Un Matlab script file (i.e. file di testo con estensione `.m`) riportante i comandi eseguiti e la risposta alle eventuali richieste teoriche sotto forma di commento (i.e. riga di testo preceduta dal simbolo `%`)

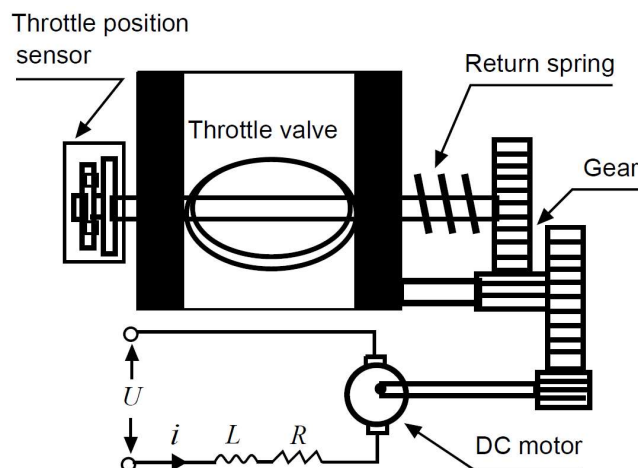
NOTA: per copiare i comandi dalla Command History, visualizzarla tramite menu “Layout → Command History → Docked”, selezionare in tale finestra le righe di interesse tramite *Ctrl+mouse left-click* e dal menu visualizzato tramite *mouse right-click* selezionare “create script”

2. Le figure rilevanti per la dimostrazione dei risultati ottenuti in **formato JPEG o PNG** avendo cura di salvare i file delle figure quando queste mostrano le caratteristiche di interesse per la verifica del progetto (i.e. Settling Time, Stability Margins, ecc.).

NOTA: per salvare una figura Matlab in formato PNG o JPG, usare il menu “File → Save as” dalla finestra della figura di interesse, assegnarle un nome e selezionare l’estensione `*.PNG` o `*.JPG` nel menu a tendina “salva come”, avendo cura che le figure siano salvate quando queste mostrano le caratteristiche di interesse per la verifica del progetto

INTRODUZIONE

Si consideri il sistema di azionamento ride-by-wire della valvola a farfalla di un automobile, mostrato nella seguente figura:



il cui modello matematico è stato oggetto dei primi esercizi della prova scritta odierna (Testo 9 CFU). Il modello esteso, del tipo

$$\dot{x}(t) = Ax(t) + Bu(t); y(t) = Cx(t) + Du(t)$$

è inizializzato dallo script `initAutomaticaTestoB.m` fornito dal docente.

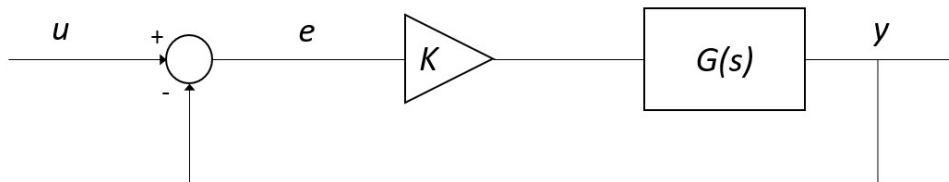
ESERCIZIO 1.

- a) Dato il modello ottenuto nell’introduzione, si ricavi la funzione di trasferimento $G(s)$ del sistema in esame.

- b) Si determinino i poli della funzione di trasferimento e si verifichi se coincidono con gli autovalori di A . Descrivere il motivo di eventuali discrepanze tramite righe di commento (i.e. precedute dal simbolo %) sul file .m

ESERCIZIO 2

Si consideri il sistema in retroazione unitaria rappresentato in figura:



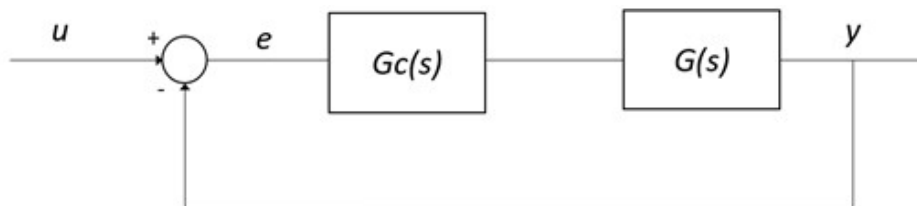
Con $G(s)$ ricavata al punto a) dell'Esercizio 1.

Si verifichi se il sistema ad anello chiuso, con guadagno $K = 1$, risulti o meno stabile tramite l'analisi della risposta $y(t)$ al gradino unitario.

- Si determini, se esiste, il valore del guadagno K_{lim} per il quale il sistema risulta semplicemente stabile, utilizzando il grafico del luogo delle radici della funzione $G(s)$.
- Si ponga $K_1 = 0.8 K_{lim}$, si visualizzi l'andamento della risposta al gradino $y(t)$ del sistema chiuso in retroazione con tale guadagno e si determini il tempo d'assestamento al 5%.
- Si determini il valore a regime della risposta al gradino $y(t)$ e si motivi il risultato tramite righe di commento (i.e. precedute dal simbolo %) sul file .m

ESERCIZIO 3

Si consideri il sistema rappresentato in figura



con $G(s)$ ricavata dall'Esercizio 1.

- Si determinino come possibili funzioni di trasferimento alternative per il controllore $G_c(s)$ quelle di un regolatore di tipo **PI** e di uno di tipo **PD** (i.e. si escluda il **PID**!) considerati entrambi nella formulazione classica e con i parametri K_p, T_i, T_d tarati secondo il metodo di Ziegler-Nichols basato sull'oscillazione critica ad anello chiuso (vedi tabella allegata).
- Si verifichi tramite l'analisi della risposta al gradino del sistema compensato e chiuso in retroazione quale tra i regolatori proposti sia il più efficace in termini di massima sovranelongazione percentuale e tempo di assestamento.

| TIPO | K_p | T_i | T_d |
|------|------------|------------|-----------|
| PI | $0.45 K_0$ | $0.85 T_0$ | - |
| PD | $0.5 K_0$ | - | $0.2 T_0$ |

NOTA:

K_0 = **guadagno critico**, di fatto corrispondente al guadagno K_{lim} determinato al punto b) dell'Esercizio 2, cioè tale per cui il sistema chiuso in retroazione risulti semplicemente stabile (i.e. con oscillazione persistente della risposta).

T_0 = **periodo delle oscillazioni della risposta** in condizione di stabilità semplice ad anello chiuso.

SOLUZIONE (traccia):

Contenuto di `initAutomaticaTestoA`

```
% Inizializzazione parametri
```

```
Kt=0.1;
```

```
J=0.01;
```

```
N=40;
```

```
L=0.1;
```

```
R=2;
```

```
Kv=0.8;
```

```
Ks=10;
```

```
% Inizializzazione matrici
```

```
A = [ 0, 1, 0;
      -Ks/J, -Kv/J, (Kt*N)/J;
      0, -(Kt*N)/L, -R/L]
```

```
B = [0;
      0;
      1/L]
```

```
C=[1 0 0]
```

```
D=0
```

```
s=tf('s');
```

Svolgimento:

```
sys=ss(A,B,C,D)
```

```
G=tf(sys)
```

```
G =
```

4000

$$s^3 + 100 s^2 + 1.86e04 s + 2e04$$

pole(G)

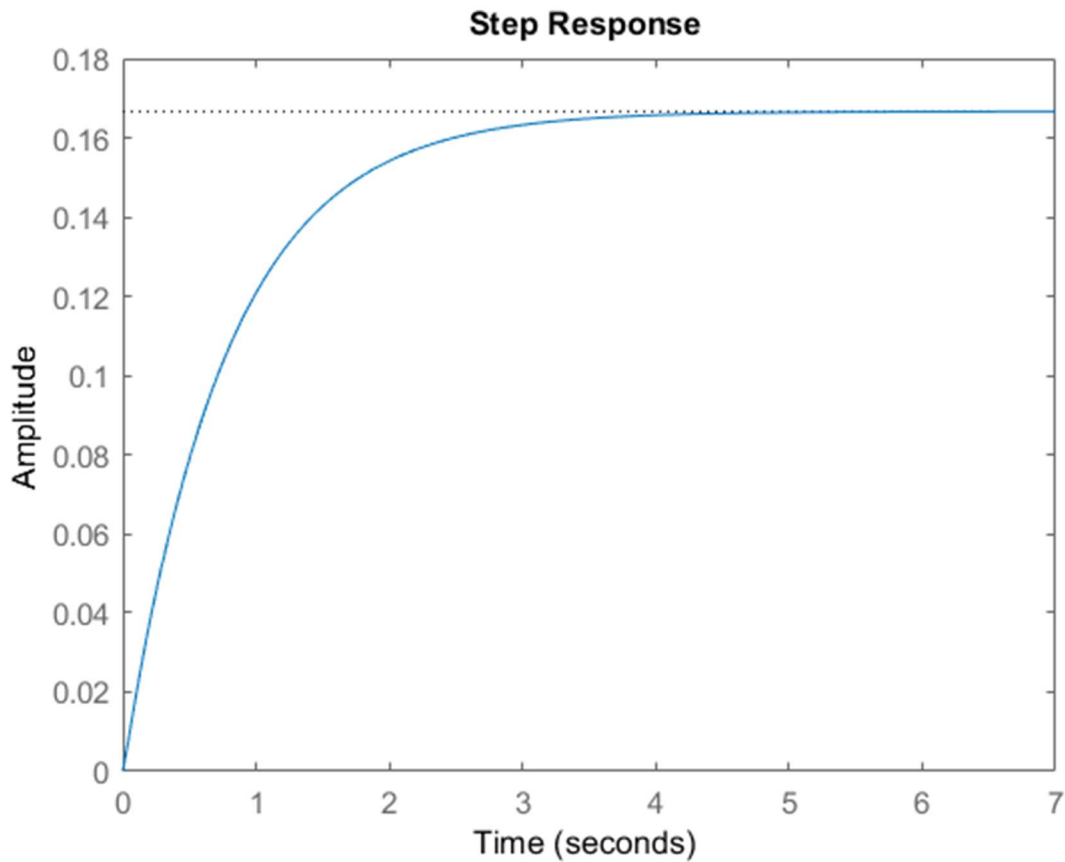
```
ans = 1.0e+02 *  
    -0.4946 + 1.2668i  
    -0.4946 - 1.2668i  
    -0.0108 + 0.0000i
```

eig(A)

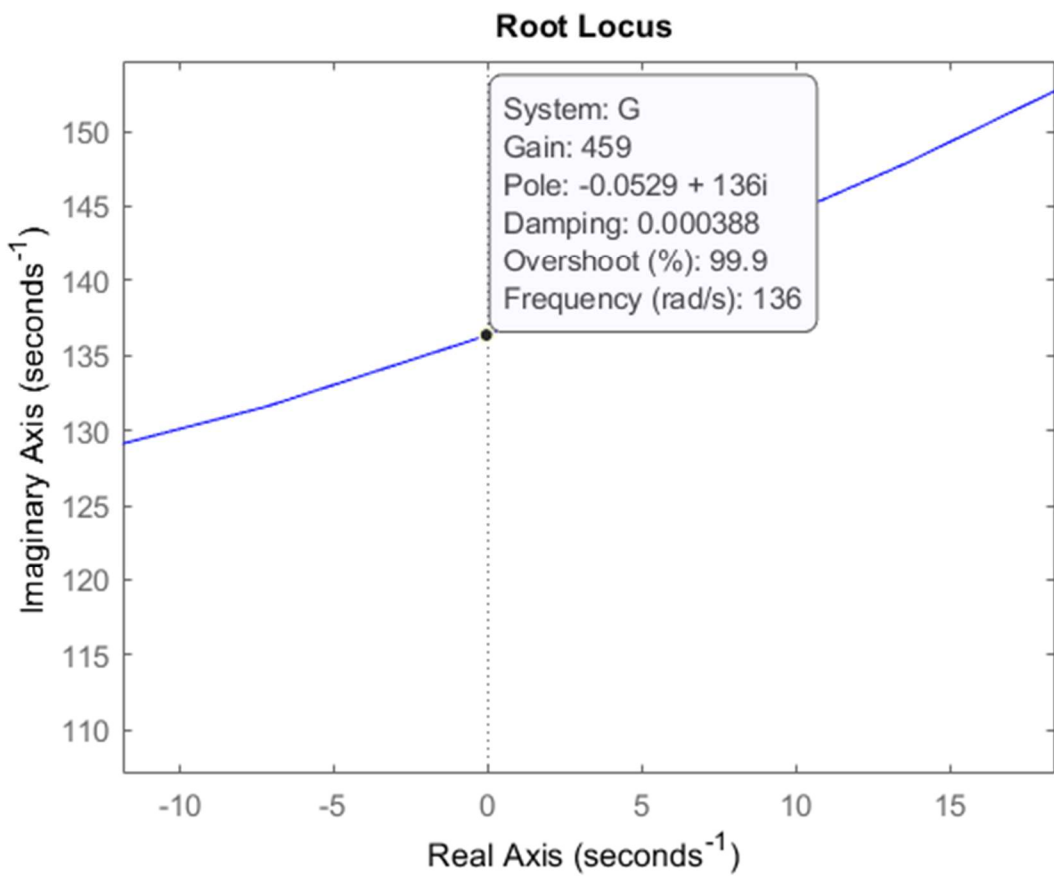
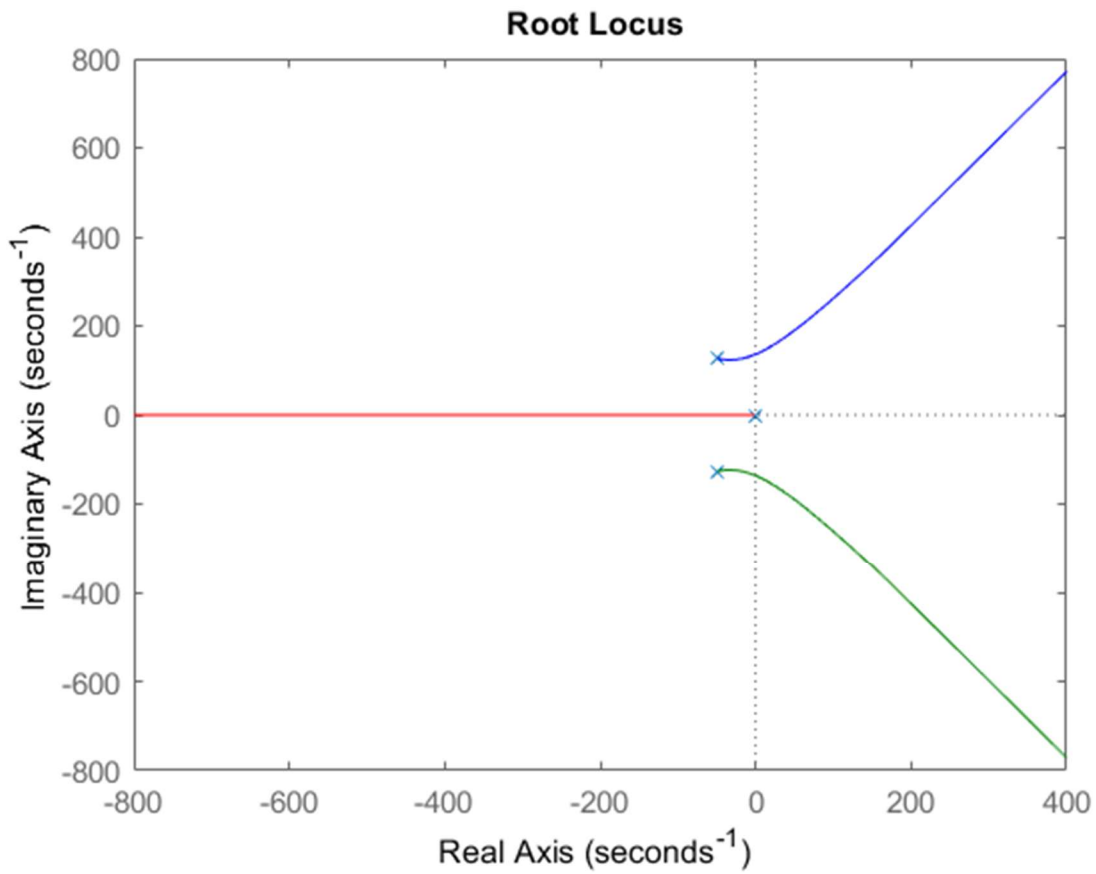
```
ans = 1.0e+02 *  
    -0.0108 + 0.0000i  
    -0.4946 + 1.2668i  
    -0.4946 - 1.2668i% Poli e autovalori coincidono (sistema  
completamente controllabile e osservabile)
```

Gcl=feedback(G,1)

step(Gcl)



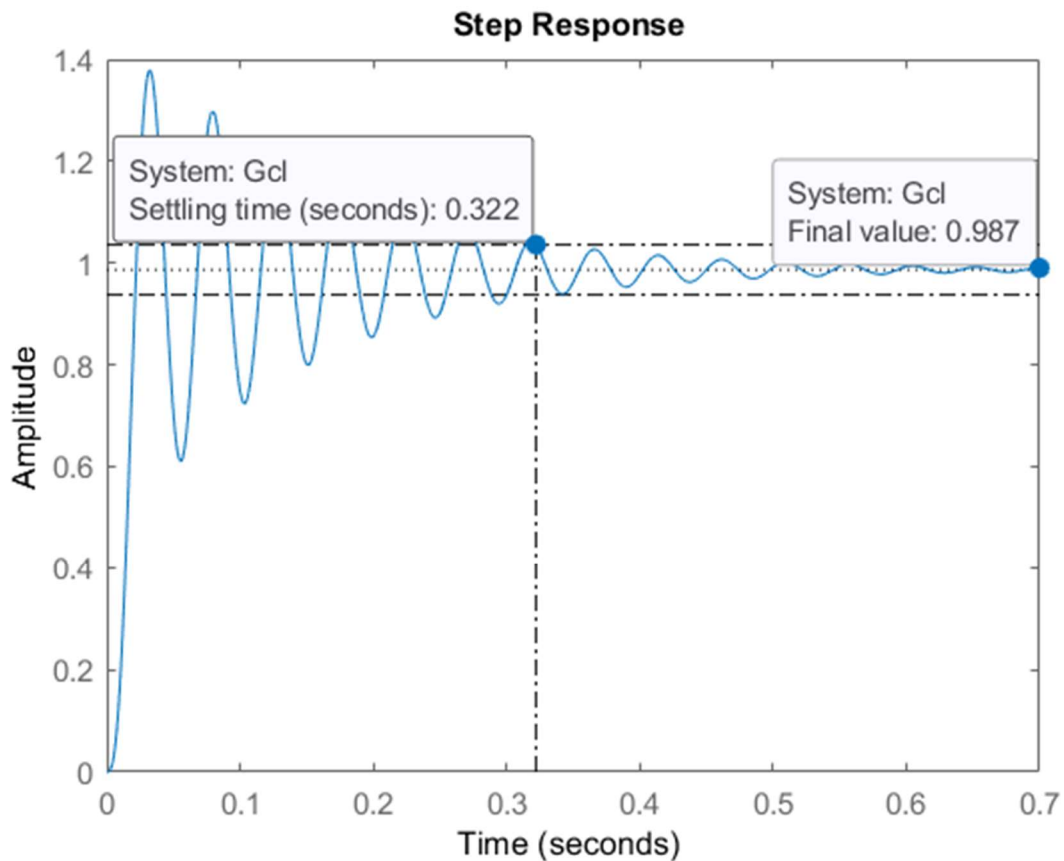
rlocus(G)



K_{lim} = 459

```
Gcl=feedback(0.8*Klim*G,1)
```

```
step(Gcl)
```



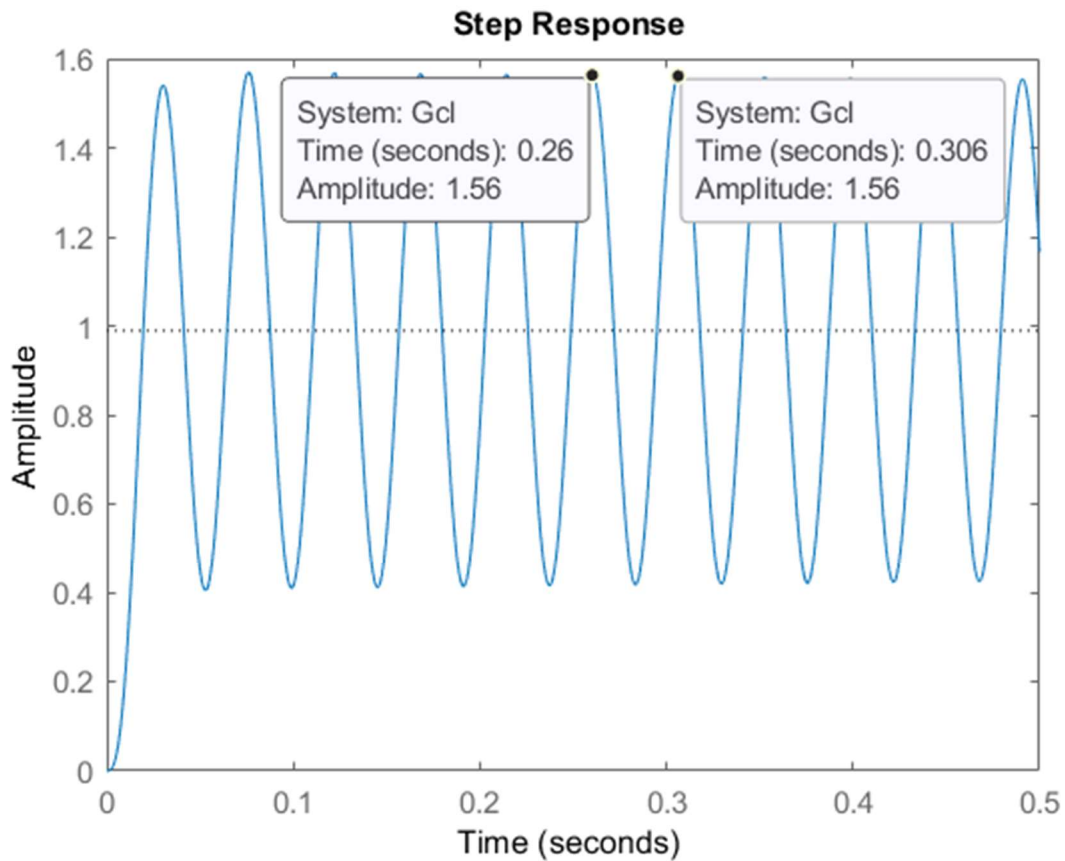
% Valore a regime < 1 (errore NON nullo in risposta al gradino unitario), perché il sistema NON è di tipo 1, cioè NON ha un polo nell'origine)

```
Gcl=feedback(Klim*G,1)
```

```
step(Gcl)
```

% Riduco il tempo del grafico di risposta al gradino unitario per vedere meglio le oscillazioni

```
step(Gcl,10)
```



$$T0 = 0.306 - 0.26$$

$$K0 = K_{lim}$$

% Costruisco il PD

$$Kp = 0.5 * K0$$

$$Td = 0.2 * T0$$

$$s = tf('s')$$

$$PID = Kp * (1 + Td * s)$$

% Costruisco il PI

$$Kp = 0.45 * K0$$

$$Ti = 0.85 * T0$$

$$PI = Kp * (1 + 1 / (Ti * s))$$

% Confronto PD vs PI

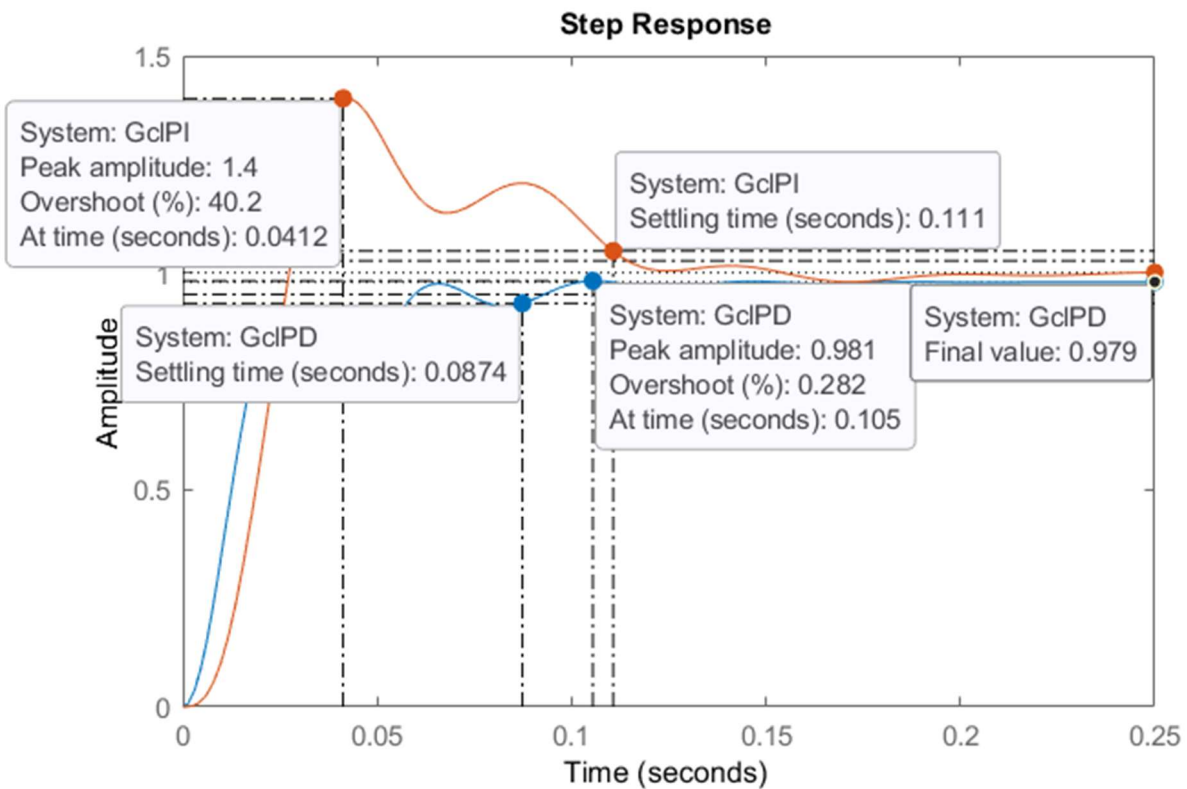
$$GclPD = feedback(PD * G, 1)$$

$$GclPI = feedback(PI * G, 1)$$

step(GclPD)

hold on

step(GclPI)



% Il PD fornisce una prestazione migliore in termini di tempo di assestamento e overshoot, tuttavia non garantisce errore a regime nullo (sebbene questo sia molto piccolo, cioè $1 - 0.979 = 0.021$). In questa applicazione automobilistica potrebbe tale errore potrebbe anche essere accettabile (considerate le elevate tolleranze e variabilità che caratterizzano tali tipi di sistemi di controllo).